



ارزیابی سیستم نگهدارنده توده سنگ‌های افیولیت ملانژ در توپل آزاد

حسن شجاعی، علی ارومیه‌ای* و هادی شریفی

H_Shajaei62@yahoo.com, Uromia@yahoo.co.uk

* عهده‌دار مکاتبات

دریافت: ۸۸/۶/۳۰؛ دریافت اصلاح شده: ۸۹/۵/۱۹؛ پذیرش: ۸۹/۶/۳۰؛ قابل دسترس در تارنما: ۹۰/۳/۹

چکیده

یکی از مهم‌ترین وظایف مهندسین طراح سازه‌های زیرزمینی، فراهم نمودن بهترین روش جهت تأمین پایداری سازه با توجه به شرایط و ویژگی‌های ژئوتکنیکی طرح می‌باشد. بدلیل این که به دست آوردن پارامترهای دقیق طراحی در روش‌های مختلف، مشکل و پرهزینه است، لذا روش‌های تجربی جهت تحلیل پایداری در سطح وسیعی مورد استفاده قرار می‌گیرد. در این تحقیق با استفاده از مطالعات آزمایشگاهی، بررسی‌های صحرایی و حفاری گمانه‌های اکتشافی، کیفیت مهندسی توده‌سنگ‌های افیولیت ملانژی مسیر توپل آزاد بررسی شده است. بعد از انجام طبقه‌بندی‌های مهندسی توده‌سنگ آر ام آر (RMR)، کیو (Q)، جی اس آی (GSI)، برآورده از ویژگی‌های ژئومکانیکی توده‌سنگ به دست آمده است. سیستم نگهدارنده مناسب برای توپل با دهانه ۶ متری با استفاده از روش‌های پیشنهادی بیناوسکی، بارتون و همچنین معیار سینگ و گوئل بر اساس پتانسیل لهیدگی زمین تخمین زده شده و در نهایت پایداری توپل مورد تحلیل و ارزیابی قرار گرفته است.

واژه‌های کلیدی: توپل، زمین‌شناسی مهندسی، افیولیت ملانژ، پتانسیل لهیدگی، تحلیل پایداری.

۱- مقدمه

سنبلج-سیرجان و توده‌سنگ‌های دگرگونی ناحیه‌ای ضعیف قرار دارد، (Ghasemi & Talbot 2006, Mazhari et al. 2009) نیمه‌ی دوم توپل نیز با طول حدود ۷ کیلومتر درون زون افیولیت ملانژی زون زاگرس رانده قرار دارد.

به طور کلی روش‌های تحلیل و پیشنهاد مشاهده‌ای (Observational) را می‌توان در سه دسته روش‌های مشاهده‌ای (Analytical) و روش‌های تجربی (Empirical)، تقسیم‌بندی کرد (Hoek et al. 1998-b). روش مشاهده‌ای براساس اندازه‌گیری حرکات و جابه‌جایی زمین در طول حفاری توپل بوده و روش تحلیلی نیز به بررسی تنش و کرنش اطراف دهانه توپل می‌پردازد. ولی روش تجربی بر اساس تجزیه و تحلیل آماری پایداری توپل‌های ساخته شده و مطالعات و پیشنهادات محققین تا زمان حال می‌باشد (Singh & Goel 1999).

در این تحقیق لازم است که زمین‌شناس مهندس با روش تجربی، سیستم نگهدارنده توپل را ارزیابی نماید.

توپل‌زنی در سنگ‌های افیولیت ملانژی به واسطه‌ی داشتن تنوع لیتولوژیکی و تکتونیک بسیار فعالی که تحمل کرده‌اند، از لحاظ زمین‌شناسی مهندسی دارای شرایط ژئوتکنیکی ویژه‌ای است (Bortolotti et al. 2002, Hoek et al. 1998-a) (Hoek et al. 1998-b, Hoek & Marinos 2000)

توپل آزاد دارای طول تقریبی ۱۲ کیلومتر و قطر ۶ متر می‌باشد. بدلیل موقعیت خاص تکتونیکی این توپل و قرارگیری آن در محل زمین‌درز زاگرس و زون فروزانش صفحه‌عربی به زیر صفحه ایران (Berberian 1995, Regard et al. 2010, Sepehr & Cosgrove 2004)، مسیر توپل به دو بخش کاملاً متفاوت با خصوصیات و رفتار مختلف تقسیم شده است. نیمه‌ی اول توپل درون زون ساختاری

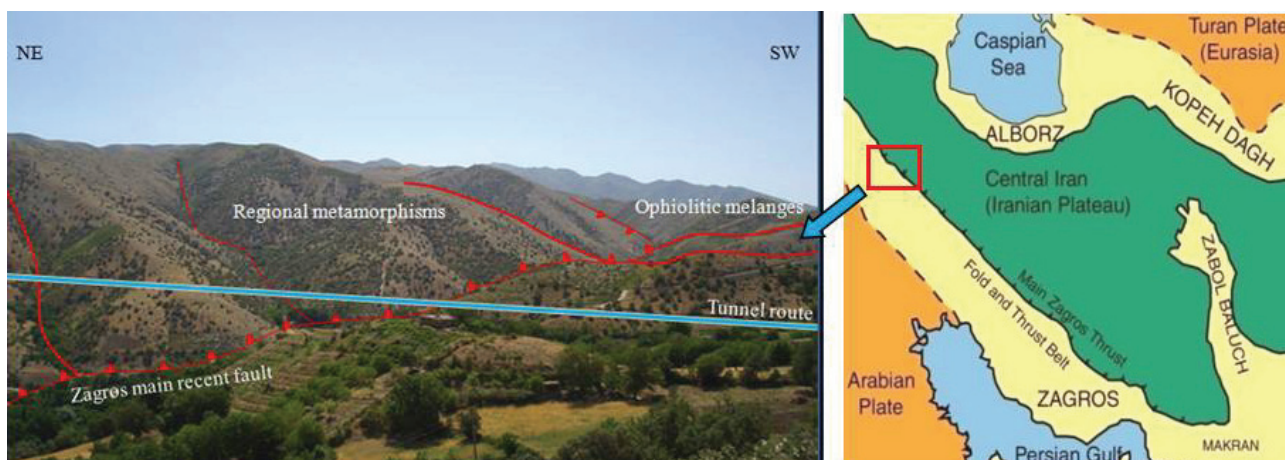
۳- طبقه‌بندی مهندسی و ارزیابی خصوصیات توده‌سنگ

جهت ارزیابی کمی و کیفی سنگ‌ها، روش‌های متعددی وجود دارد که طبقه‌بندی مهندسی سنگ یکی از رایج‌ترین این روش‌هاست (Basarir 2006). با توجه به تنوع لیتوژوئی توده‌سنگ‌های سکانس افیولیت ملانژی، آن‌ها را در ۳ زون ژئوتکنیکی با خصوصیات و رفتار مهندسی تقریباً نزدیک به هم تقسیم‌بندی نموده و به مطالعه‌ی آن‌ها پرداخته شد. زون A شامل سنگ‌های آذربین سکانس افیولیتی، زون B شامل آهک‌ها و رادیولاریت‌ها و زون C نیز ماسه‌سنگ‌ها و لای‌سنگ‌های انتهایی مسیر تونل را دربرمی‌گیرد. پس از حفاری ۴ گمانه اکتشافی به طول ۷۷۵ متر درون این ۳ زون، نمونه‌های مناسبی جهت انجام آزمون‌های آزمایشگاهی تهیه شد که خلاصه‌ای از نتایج آن در جدول ۲ آورده شده است. از آن‌جاکه هر سیستم طبقه‌بندی، بر روی پارامترهای متفاوتی تأکید می‌کند، جهت ارزیابی کیفیت مهندسی توده‌سنگ‌های مسیر تونل آزاد، طبقه‌بندی‌های RMR، GSI و Q در طول مسیر تونل انجام شد.

۴- زمین‌شناسی مسیر تونل آزاد

بخش دوم تونل آزاد، درون زون ساختاری افیولیت ملانژ‌های زاگرس رانده قرار دارد که توسط گسل اصلی و جوان زاگرس (شاخه چم پایگلان)، از بخش اول تونل و زون سنتدج سیرجان جدا می‌شود (تصویر ۱). این بخش از تونل، شامل پوسته‌ی اقیانوسی قدیمی است که در اثر برخورد دو صفحه‌ی ایران و عربی، فراراشن یافته (آقاباتی ۱۳۸۳) و لیتلوزی آن عمده‌ای شامل سکانس افیولیتی سنگ‌های الترابازیک تا بازیک همراه با پوشش رسوبی کربناته و آهک‌های ریزدانه و بخش ناچیزی هم ماسه‌سنگ و لای‌سنگ می‌باشد. به واسطه‌ی تکتونیک فعال و تنش‌های بر جای زیاد منطقه، سیستم‌های ناپیوستگی توسعه زیادی داشته و در بیشتر نقاط مسیر تونل، وسعت زون‌های توده‌سنگ‌های خردشده و گسله قابل ملاحظه است (شجاعی و ارومیه‌ای ۱۳۸۷).

مشخصات سیستم‌های اصلی ناپیوستگی‌های توده سنگ‌های افیولیت ملانژی مسیر تونل آزاد در جدول ۱ ارائه شده است.



تصویر ۱- موقعیت جغرافیایی و شرایط زمین‌شناسی تونل آزاد

جدول ۱- خصوصیات سیستم‌های ناپیوستگی اصلی توده سنگ‌های مسیر تونل آزاد

نامه سنگ‌ها و لای‌سنگ‌ها	رادیولاریتها							توده سنگ‌های آذربین							دسته درزه	لیتلوزی		
	MASHEH			LAI				MASHEH			LAI							
	J ₁	J ₂	J ₃	J ₁	J ₂	J ₃	J ₄	J ₁	J ₂	J ₃	J ₄	J ₅	J ₆	J ₇				
مشخصات	۷۵	۷۵	۸۵	۶۵	۸۰	۷۰	۸۰	۷۵	۸۵	۷۵	۸۵	۷۵	۸۵	۸۵	شیب	شیب		
سیستم‌های	۲۸۵	۱۶۵	۳۲۵	۲۳۰	۲۸۰	۱۹۰	۳۳۵	۲۲۰	۱۳۵	۱۳۵	۱۳۵	۱۳۵	۱۳۵	۱۳۵	جهت	جهت شیب		
ناپیوستگی																		

نمایش سیستم‌های
ناپیوستگی

Figure 2: Rose diagrams showing the orientation of joints and fractures for three samples (J1, J2, J3) from the Masheh and Lai zones. The diagrams illustrate the distribution of joint orientations in different directions (N, NE, E, SE, S, SW, W, NW).

۵- ارزیابی پتانسیل لهیدگی زمین

به منظور تعیین شرایط لهیدگی و پتانسیل بروز این پدیده، روش‌های کمی و کیفی مختلفی توسط محققین ارائه شده است. روش‌های کیفی (تجربی) بر پایه سیستم‌های طبقه‌بندی مهندسی سنگ استوار می‌باشد، ولی در روش‌های کمی شاخص‌هایی جهت ارزیابی پتانسیل لهیدگی مورد استفاده قرار می‌گیرد که متدالوئرین این شاخص‌ها، مقاومت فشاری تکمحوری توده سنگ و وضعیت تنش‌های برجا (ناشی از سرباره تونل) می‌باشد (Hoek & Marinos 2000). در این تحقیق از بین روش‌های تجربی رایج، روش گوئل و همکاران و از بین روش‌های کمی نیز روش هوک و مارینوس استفاده گردید.

۶- روش گوئل و همکاران

گوئل و همکاران (Goel et al. 1995) به منظور پیش‌بینی وضعیت لهیدگی توده سنگ‌ها، از دو پارامتر عمق تونل (H)، شاخص عدد توده سنگ (Q) و قطر دهانه تونل (B) مطابق با رابطه ۱ استفاده نموده و حالت‌های مختلف لهیدگی زمین را طبق جدول ۵ معرفی نمودند (Singh & Goel 1999).

$$H = (275N^{0.33})B^{-0.1} \quad (1)$$

۷- روش هوک و مارینوس

در این روش نیز برای ارزیابی پتانسیل لهیدگی توده سنگ‌ها از نسبت

نتایج این طبقه‌بندی‌ها به همراه مدول تغییر شکل برجای تخمین زده از طریق آن‌ها در هر ۳ زون ژئوتکنیکی مسیر تونل، در جدول ۲ ارائه شده است. در اغلب تحلیل‌هایی که به هر شکل برای طراحی فضاهای زیرزمینی در توده‌سنگ صورت می‌گیرد، به ارزیابی معتبر و با ارزشی از خواص مقاومتی و تغییر‌شکل‌پذیری توده‌های سنگی نیاز می‌باشد (طاهریان ۱۳۸۱).

به منظور دستیابی تخمینی از پارامترهای مهندسی افیولیت ملانژ‌های مسیر تونل آزاد علاوه بر نتایج آزمون‌های آزمایشگاهی از تحلیل مقادیر طبقه‌بندی‌های توده‌سنگ بدست آمده در محیط نرم‌افزار Rock work استفاده شده است (جدول ۳).

۸- پیش‌بینی سیستم نگهدارنده تونل بر اساس طبقه‌بندی توده سنگ

جهت طراحی سیستم نگهدارنده تونل آزاد درون توده سنگ‌های افیولیت ملانژی، از طبقه‌بندی‌های مهندسی سنگ RMR و Q استفاده شده است (جدول ۴).

از آنجا که سنگ‌های خردشده و تحت تکتونیک فعال، دارای پتانسیل زیادی جهت رفتار لهیدگی (Squeezing) می‌باشد لذا ارزیابی از پتانسیل لهیدگی نیز براساس روش‌های گوئل و همکاران (Goel et al. 1995) و هوک و مارینوس (Hoek & Marinos 2000) صورت گرفته است.

جدول ۲- خصوصیات شاخص و آزمایشگاهی زون‌های ژئوتکنیکی مسیر تونل

ماسه‌سنگ‌ها و لای‌سنگ‌ها (C)			رادیولاریت‌ها (زون B)			توده‌سنگ‌های آذرین (زون A)			زون ژئوتکنیکی رده‌بندی توده‌سنگ		
E _(m) Gpa	class	rating	E _(m) Gpa	class	rating	E _(m) Gpa	class	rating			
۶/۶۸	III	۴۳	۱۲	III	۶۱	۷/۴۹	III	۴۵	RMR		
۴/۰۴	-	۳۸	۱۴/۲	-	۵۸	۸/۹۴	-	۵۰	GSI		
۸/۵۷	poor	۱/۳۴	۱۷/۹	good	۷/۳۳	۹/۴۷	fair	۴/۱۲	Q		

جدول ۳- تخمینی از پارامترهای مهندسی سنگ‌های افیولیت ملانژی مسیر تونل آزاد

آذرین رادیولاریت‌ها لای‌سنگ (C)	ماسه سنگ و رادیولاریت‌ها لای‌سنگ (B)	آذرین رادیولاریت‌ها لای‌سنگ (A)	زون ژئوتکنیکی زاویه اصطکاک درونی (φ)
۳۱/۴۵	۳۲/۸۶	۳۸/۴۵	
۲/۱۹	۴/۵۴	۱/۹۶	مقاومت چسبندگی (Mpa)
۴۵	۸۱	۸۷	مقاومت تک محوری سنگ بکر (Mpa)
۰/۰۲۵	۰/۳۳۷	۰/۰۲۸	مقاومت کششی توده سنگ (Mpa)
۷/۸۳	۱۶/۶۷	۸/۱۵	مقاومت فشاری توده سنگ (Mpa)

شجاعی و همکاران: ارزیابی سیستم نگهدارنده توده سنگ‌های افیولیت ملانژ در تونل آزاد

مقاومت فشاری تک محوری توده سنگ (δ_{ci}) به تنש برجا (P_0) و میزان کرنش شعاعی جداره تونل (ε) استفاده می‌شود. کرنش شعاعی جداره تونل طبق رابطه (۲) که توسط هوک در سال ۲۰۰۰ ارائه شده، قابل محاسبه است (Hoek & Marinos 2000)

۴- تفمین سیستم نگهدارنده تونل با استفاده از ارزیابی لهیدگی

تحقیقان پس از مطالعات مفصل بر روی شرایط لهیدگی صورت دادند (Singh & Goel 1999)، پیشنهادتی را جهت حفاری و نگهداری سازه‌های زیرزمینی ارائه دادند. بعد از ارزیابی پتانسیل لهیدگی توده سنگ‌های افیولیت ملانژی مسیر تونل آزاد، حفاری و سیستم نگهدارنده تونل مطابق جدول ۸ ارائه می‌شود.

$$\epsilon_t(\%) = (0.2 - \frac{0.25 \times P_i}{P_0}) \left(\frac{\delta_{cm}}{P_0} \right)^{(2.4 \times (\frac{P_i}{P_0} - 2))} \quad (2)$$

که در این رابطه P_i فشار وارد بر سیستم نگهدارنده و $P_0 = \gamma \times h$ تنش بر جاست. هوک و مارینوس شرایط لهیدگی زمین را بر اساس نرخ کرنش شعاعی جداره تونل طبق جدول ۶ معرفی نمودند. نهایتاً بر اساس دو روش ارائه شده جهت ارزیابی لهیدگی، پتانسیل لهیدگی

جدول ۴- نگهدارنده پیشنهادی تونل درون سکانس افیولیتی براساس طبقه‌بندی RMR و Q

C	B	A	زون ژئوتکنیکی
شاتکریت ۵-۱۰cm در سقف	شاتکریت ۵-۱۰cm در سقف و ۳cm در دیواره	شاتکریت ۵cm در سقف	RMR
بوتل گذاری منظم ۴ تا ۵ متری و ۲/۵ متری همراه تور سیمی موضعی متری و نسبت تور سیمی در سقف	بوتل گذاری منظم ۴ تا ۵ متری و ۲/۵ متری همراه تور سیمی موضعی متری و نسبت تور سیمی در سقف	پیشنهادی نگهدارنده	سیستم نگهدارنده
اجرای شاتکریت غیرمسلح ۵cm و اجرای شاتکریت غیرمسلح ۵cm و ضخامت ۵mm و نسبت پیچ سنگ با فاصله ۲ متری	اجرای شاتکریت غیرمسلح ۵cm و اجرای شاتکریت غیرمسلح ۵cm و ضخامت ۵mm و نسبت پیچ سنگ با فاصله ۱/۸ متری	پیچ سنگ با فاصله ۲ متری	Q

جدول ۵- وضعیت‌های مختلف لهیدگی زمین و شرایط وقوع آنها طبق مطالعات گوئل و همکاران (Goel et al. 1995)

N ^{0.33} .B ^{-0.1}	-	عدم لهیدگی
(275N ^{0.33}) B ^{-0.1} < H < (450N ^{0.33}) B ^{-0.1}	انسداد ۱-۳٪ دهانه تونل	لهیدگی کم
(450N ^{0.33}) B ^{-0.1} < H < (630N ^{0.33}) B ^{-0.1}	انسداد ۳-۵٪ دهانه تونل	لهیدگی متوسط
(630N ^{0.33}) B ^{-0.1} < H	انسداد > ۵٪ دهانه تونل	لهیدگی زیاد

جدول ۶- وضعیت‌های مختلف لهیدگی زمین و شرایط وقوع آنها طبق مطالعات هوک و مارینوس (۲۰۰۰)

$\epsilon_t \leq 1$	عدم لهیدگی	NS	۱
$1 < \epsilon_t \leq 2.5$	لهیدگی کم	MS	۲
$2.5 < \epsilon_t \leq 5$	لهیدگی زیاد	SS	۳
$5 < \epsilon_t \leq 10$	لهیدگی خیلی زیاد	VSS	۴
$\epsilon_t > 10$	لهیدگی شدید	ES	۵

جدول ۷- پتانسیل لهیدگی توده سنگ‌های مسیر تونل آزاد

زون	(m)	روش هوک و مارینوس				روش گوئل و همکاران		هوک	گوئل	پتانسیل لهیدگی
		P ₀	P _i	δ _{cm}	ε _t	N	N ^{0.33} B ^{-0.1}			
A	۱۸	۸/۲۸	۱۴/۸	۰/۴۶	۱/۰۹	۰/۷۲	۰/۷۴۶	لهیدگی کم	لهیدگی کم	لهیدگی کم
B	۲۷	۱۶/۳۲	۲۶/۷	۷/۷۸	۰/۳۹	۱۰	۱/۷۷	عدم لهیدگی	عدم لهیدگی	لهیدگی کم
C	۳۰	۱۴/۶۳	۲۴/۲	۲/۶۸	۰/۸۷	۸/۶۶	۱/۶۹	عدم لهیدگی	عدم لهیدگی	عدم لهیدگی

جدول ۸- تخمین حفاری و نگهداری جهت توده سنگ‌های افیولیت ملانژ طبق معیار سینگ و گوئل (Singh & Goel 1999)

پیشنهادات	نوع نگهدارنده	روش حفاری	شرایط زمین
اجرای اولین لایه شاتکریت چند روز بعد از حفاری به منظور رها شدن تش سنگ	شاتکریت و میل مهار پیش تبیده با ظرفیت لازم	حفاری کامل و انفجار کنترل شده	بدون لهیگی
قطع دایره‌ای، نیمی از نگهدارنده پس از هر انفجار صورت گیرد	شبکه منظم میل مهار تزییقی و شاتکریت مسلح	حفاری و انفجار پله ای	لهیگی کم
قطع دایره‌ای، نصب نگهدارنده پس از هر انفجار، نصب ابزار نگاری در کف جهت ممانعت از تورم	شبکه منظم میل مهار شکل پذیر، شاتکریت مسلح اجرای میل مهار	حفاری و انفجار پله ای	لهیگی متوسط

Bortolotti, V., Marroni, M., Nicolae, I., Pandolfi, L., Principi, G. & Saccani, E., 2002, "Geodynamic implications of Jurassic ophiolites associated with Island-Arc Volcanics, South Apuseni Mountains, Western Romania", *International Geological Review*, Vol. 44: 938-955.

Ghasemi, A. & Talbot, C. J., 2006, "A new tectonic scenario for the Sanandaj-Sirjan Zone (Iran)", *Journal of Asian Earth Sciences*, Vol. 26 (6): 683-693.

Hoek, E., Marinos, P. & Benissi, M., 1998-a, "Applicability of the geological strength index (GSI) classification for very weak and sheared rock masses: The case of the Athens Schist Formation", *Bulletin of Engineering Geology and the Environment*, Vol. 57: 151-160.

Hoek, E., Kaiser, P. K. & Bawden, W. F., 1998-b, "Support of underground excavation in hard rock", *A. A. Balkema, Rotterdam*, 275 pp.

Hoek, E. & Marinos, P., 2000, "Predicting tunnel squeezing problems in weak heterogeneous rock mass", *Tunnels and Tunneling International, part one: 45-51, part two: 33-36*.

Goel, R. K., Jethwa, J. L. & Paithankar, A. G., 1995, "An empirical approach for predicting ground condition for tunnelling and its practical benefits", *Proc. 35th US Rock Mech. Symposium: 431-436*.

Mazhari, S. A., Bea, F., Amini, S., Ghalamghash, J., Molina, J. F., Montero, P., Scarrow, J. H. & Williams, I. S., 2009, "The Eocene bimodal Piranshahr massif of the Sanandaj-Sirjan Zone, NW Iran: a marker of the end of the collision in the Zagros orogen", *Journal of the Geological Society*, Vol. 166 (1): 53-69.

Regard, V., Hatzfeld, D., Molinaro, M., Aubourg, C., Bayer, R., Bellier, O., Yamini-Fard, F., Peyret, M. & Abbassi, M., 2010, "The transition between Makran subduction and the Zagros collision: recent advances in its structure and active deformation", *Geological Society, London, Special Publications*, Vol. 330: 43-64.

Sepehr, M. & Cosgrove, J. W., 2004, "Structural framework of the Zagros Fold-Thrust Belt, Iran", *Marine and Petroleum Geology*, Vol. 21: 829-843.

Singh, B. & Goel, R. K., 1999, "Rock Mass Classification: A Practical Approach in Civil Engineering", Elsevier Science, 282 pp.

۷- تئیمکری

توده سنگ‌های افیولیت ملانژی به واسطهٔ لیتوژوئی متنوع و تکتونیک فعالی که دارند، جنبه‌های مهندسی بسیار متغیری در مهندسی تونل دارند. با استفاده از روش‌های عددی و معیارهای تجربی، تخمینی از پارامترهای ژئومکانیکی این سنگ‌ها صورت گرفت. در این تحقیق مشخص شد که آهک‌ها و رادیولاریت‌های سکانس افیولیتی کیفیت مهندسی بهتری نسبت به سایر سنگ‌های مجموعه‌ی سکانس دارند و پیش‌بینی می‌شود، حجم گسیختگی‌ها و تنش‌های القایی در این سنگ‌ها کمتر باشد. چنانچه جهت تخمین سیستم نگهدارندهٔ تونل از پارامترهای ژئومکانیکی و طبقه‌بندی مهندسی سنگ استفاده گردد، مقدار ضخامت روبارهٔ تونل مورد توجه قرار نمی‌گیرد. در این تحقیق جهت رفع این نقیصه از روش‌های پیشنهادی سینگ و گوئل و ارزیابی پتانسیل لهیگی زمین استفاده شده و سیستم نگهدارندهٔ بهینه و کارآمدتری جهت تونل آزاد طراحی شده است.

مراجع

- آقانباتی، ع.، ۱۳۸۳، "زمین‌شناسی ایران"، انتشارات سازمان زمین‌شناسی و اکتشافات معدنی کشور، ۵۱۶ ص
- شجاعی، ح. و ارومیه‌ای، ع.، ۱۳۸۷، "ارزیابی عددی رابطهٔ بین لیتوژوئی، گسلش و درزه داری توده‌سنگ"، اولین همایش سراسری فن‌آوری‌های علم زمین، محلات.
- طاهریان، ع.، ۱۳۸۱، "مهندسی سنگ کاربردی"، چاپ اول، انتشارات دهخدا، تهران، ۵۱۲ ص.

Basarir, H., 2006, "Engineering geological studies and tunnel support design at Sulakyurt dam site, Turkey", *Engineering Geology*, Vol. 86: 225-237.

Berberian, M., 1995, "Master Blind thrust fault hidden under the Zagros fold : active basement tectonics and surface morphotectonics", *Tectonophysics*, Vol. 241: 193-224.